Comptage de points d'une courbe elliptique sur des corps finis

Daniel Resende supervisé par Luca De Feo



28 février 2017

Introduction

- Introduction
- 2 Courbes elliptiques sur F_q

- Introduction
- 2 Courbes elliptiques sur F_q
- Algorithme de Schoof
 - Cas général
 - Amélioration de Schoof

- Introduction
- Courbes elliptiques sur F_q
- Algorithme de Schoof
 - Cas général
 - Amélioration de Schoof
- Étude de la complexité
 - Complexité de Schoof
 - Comparaison avec les autres méthodes

- Introduction
- Courbes elliptiques sur F_q
- Algorithme de Schoof
 - Cas général
 - Amélioration de Schoof
- Étude de la complexité
 - Complexité de Schoof
 - Comparaison avec les autres méthodes
- 5 Architecture du programme

- Introduction
- \bigcirc Courbes elliptiques sur F_q
- Algorithme de Schoof
 - Cas général
 - Amélioration de Schoof
- Étude de la complexité
 - Complexité de Schoof
 - Comparaison avec les autres méthodes
- 6 Architecture du programme
- Résultats expérimentaux



- Introduction
- 2 Courbes elliptiques sur F_q
- Algorithme de Schoof
- Étude de la complexité
- 6 Architecture du programme
- 6 Résultats expérimentaux

Pourquoi compter les points d'une courbe elliptique?

Les courbes elliptiques définissent une loi de groupe sur les corps finis \mathbf{F}_q qui est difficile pour le problème du logarithme discret. On retrouve par conséquent son utilisation dans plusieurs schémas cryptographiques comme Diffie-Hellman (avec ECDH) ou El-Gamal (avec ECDSA). Cependant, l'utilisation de schémas à l'aide de courbes elliptiques nécessite d'avoir un grand nombre premier qui divise l'ordre d'un sousgroupe cyclique de $E(\mathbf{F}_q)$. Nous avons donc besoin de connaitre le cardinal de $E(\mathbf{F}_q)$.



Figure – Portrait René Schoof

 L'algorithme de Shank en 1971 basé sur Baby Step Giant Step et le théorème de Hasse,

- L'algorithme de Shank en 1971 basé sur Baby Step Giant Step et le théorème de Hasse,
- L'algorithme de Schoof en 1985 que l'on va étudier dans ce mémoire,

- L'algorithme de Shank en 1971 basé sur Baby Step Giant Step et le théorème de Hasse,
- L'algorithme de Schoof en 1985 que l'on va étudier dans ce mémoire,
- L'algorithme SEA [Schoof, Elkies, Atkin] en 1995 qui est une amélioration de l'algorithme de Schoof,

- L'algorithme de Shank en 1971 basé sur Baby Step Giant Step et le théorème de Hasse,
- L'algorithme de Schoof en 1985 que l'on va étudier dans ce mémoire,
- L'algorithme SEA [Schoof, Elkies, Atkin] en 1995 qui est une amélioration de l'algorithme de Schoof,
- L'algorithme de Satoh en 2005 basé sur le relèvement canonique sur les Z q-adiques,

- L'algorithme de Shank en 1971 basé sur Baby Step Giant Step et le théorème de Hasse,
- L'algorithme de Schoof en 1985 que l'on va étudier dans ce mémoire,
- L'algorithme SEA [Schoof, Elkies, Atkin] en 1995 qui est une amélioration de l'algorithme de Schoof,
- L'algorithme de Satoh en 2005 basé sur le relèvement canonique sur les Z q-adiques,
- L'algorithme AGM [Mestre] basé sur le calcul de suites arithmetico-géométriques.

- Introduction
- 2 Courbes elliptiques sur F_q
- Algorithme de Schoof
- Étude de la complexité
- 5 Architecture du programme
- 6 Résultats expérimentaux

Soit \mathbf{F}_q un corps fini à $q=p^n$ éléments de caractéristiques $p\neq 2,3$.

Définition

Soit E une courbe elliptique définie sur \mathbf{F}_q . On obtient l'équation affine de Weierstraß :

$$y^2 = x^3 + ax + b \tag{1}$$

avec $a, b \in \mathbf{F}_q$ et $\Delta = -16(4a^3 + 27b^2) \neq 0$.

Définition

Soit ϕ l'endomorphisme de Frobénius d'une courbe elliptique E tel que

$$\begin{array}{ccc} \varPhi: & E(\bar{\mathsf{F}_q}) & \longrightarrow & E(\bar{\mathsf{F}_q}) \\ & (x,y) & \longmapsto & (x^q,y^q). \end{array}$$

Définition

Soit ϕ l'endomorphisme de Frobénius d'une courbe elliptique E tel que

$$\Phi: E(\bar{\mathbf{F}}_q) \longrightarrow E(\bar{\mathbf{F}}_q)
(x,y) \longmapsto (x^q, y^q).$$

Définition (Trace)

Soit E une courbe elliptique sur F_q . La trace de $E(F_q)$ est l'entier $t \in \mathbf{Z}^*$ tel que

$$t = q + 1 - \#E(\mathbf{F}_q). \tag{2}$$

Définition

Soit ϕ l'endomorphisme de Frobénius d'une courbe elliptique E tel que

$$\Phi: E(\bar{\mathbf{F}}_q) \longrightarrow E(\bar{\mathbf{F}}_q)
(x,y) \longmapsto (x^q, y^q).$$

Définition (Trace)

Soit E une courbe elliptique sur ${\sf F}_q$. La trace de $E({\sf F}_q)$ est l'entier $t\in {\sf Z}^*$ tel que

$$t = q + 1 - \#E(\mathbf{F}_q). \tag{2}$$

Proposition

Soit la trace t de $E(\mathbf{F}_q)$, on a alors

$$\phi^2 - t\phi + q = 0 \tag{3}$$

Théorème (de Hasse)

Soit E une courbe elliptique sur F_q et la trace t de $E(F_q)$. On a

$$\mid t \mid \leq 2\sqrt{q},\tag{4}$$

et par conséquent

$$\mid \#E(\mathsf{F}_q) - (q+1) \mid \leq 2\sqrt{q} \tag{5}$$

On va maintenant nous concentrer sur les sous-groupes de n-torsions E[n] avec $n \in \mathbf{Z}_{\geq -1}$ tel que $p \nmid n$. Et on introduit la notion de polynôme de division.

Définition (Polynôme de division)

Soit $n \in \mathbb{Z}^*$, le polynôme de division ψ_n est la fonction polynôme de K[E] de coefficient dominent n et de diviseur

$$div(\psi_n) = (E[n]) - n^2(\vartheta)$$

Proposition (Caractérisation du polynôme de division)

On construit le polynôme de division par récurrence sur $n \in \mathbf{Z}_{\geq 1}$:

a)
$$\psi_{-1}(X,Y) = -1$$
, $\psi_0(X,Y) = 0$, $\psi_1(X,Y) = 1$, $\psi_2(X,Y) = 2Y$,

- b) $\psi_3(X,Y) = 3X^4 + 6aX^2 + 12bX a^2$,
- c) $\psi_4(X,Y) = 4Y(X^6 + 5aX^4 + 20bX^3 5a^2X^2 4bX 8b^2 a^3)$
- d) $\psi_{2n}(X,Y) = \psi_n(\psi_{n+2}\psi_{n-1}^2 \psi_{n-2}\psi_{n+1}^2)/2Y$,
- e) $\psi_{2n+1}(X,Y) = \psi_{n+2}\psi_n^3 \psi_{n+1}^3\psi_{n-1}$
- $\mathsf{f)} \ \psi_{-n} = \psi_{n}.$

Dans l'algorithme de Schoof, on utilisera une variante du polynôme de division.

Définition

Soit $n \in \mathbb{Z}^*$, le polynôme $f_n \in K[E]$ définie par la relation suivante :

$$f(n) = \left\{ egin{array}{ll} ar{\psi}_n(X,Y) & ext{si } n ext{ est pair} \\ ar{\psi}_n(X,Y)/Y & ext{si } n ext{ est impair} \end{array}
ight.$$

où $\bar{\psi}_n$ est la réduction de ψ_n par les termes en Y^2 par l'équation (E).

Proposition (Caractérisation de f_n)

On construit f_n par récurrence sur $n \in \mathbf{Z}_{\geq 1}$:

a)
$$f_{-1}(X) = -1$$
, $f_0(X) = 0$, $f_1(X) = 1$, $f_2(X) = 2$,

b)
$$f_3(X) = 3X^4 + 6aX^2 + 12bX - a^2$$

c)
$$f_4(X) = 4(X^6 + 5aX^4 + 20bX^3 - 5a^2X^2 - 4bX - 8b^2 - a^3)$$

d)
$$f_{2n}(X) = f_n(f_{n+2}f_{n-1}^2 - f_{n-2}f_{n+1}^2),$$

e)
$$f_{2n+1}(X) = \begin{cases} f_{n+2}f_n^3(x^2 + ax + b) - f_{n+1}^3f_{n-1} & \text{si } n \text{ est pair} \\ f_{n+2}f_n^3 - f_{n+1}^3f_{n-1}(x^2 + ax + b) & \text{si } n \text{ est impair} \end{cases}$$

Proposition

Soit
$$P=(x,y)\in E(\bar{\mathbf{F}_q})$$
 avec $P\notin E[2]$ et $n\in \mathbf{Z}_{\geq -1}.$ Alors

$$nP = \vartheta \iff f_n = 0 \tag{6}$$

Proposition

Soit $P = (x, y) \in E(\bar{\mathbf{F}}_q)$ avec $P \notin E[2]$ et $n \in \mathbf{Z}_{\geq -1}$. Alors

$$nP = \vartheta \iff f_n = 0$$
 (6)

Proposition

Soit $P = (x, y) \in E(\bar{\mathbf{F}_q})$ et $n \in \mathbf{Z}_{\geq 1}$. Alors

$$nP = \left(x - \frac{\psi_{n-1}\psi_{n+1}}{\psi_n^2}, \frac{\psi_{n+2}\psi_{n-1}^2 - \psi_{n-2}\psi_{n+1}^2}{4Y\psi_n^3}\right)$$
(7)

On définit l'application

$$\begin{array}{ccc} End_{\mathbf{F}_q}(E) & \longrightarrow & End_{Gal(\bar{\mathbf{F}_q/\mathbf{F}_q})}(E[I]) \\ \phi & \longmapsto & \phi_I \end{array}$$

avec / premier.

On définit l'application

$$\begin{array}{ccc} End_{\mathbf{F}_q}(E) & \longrightarrow & End_{Gal(\bar{\mathbf{F}_q}/\mathbf{F}_q)}(E[I]) \\ \phi & \longmapsto & \phi_I \end{array}$$

avec / premier.

On obtient l'équation (3) par l'application précédente et l'équation :

$$\phi_I^2 - t\phi_I + q = 0 \tag{8}$$

- Introduction
- 2 Courbes elliptiques sur F_q
- Algorithme de Schoof
 - Cas général
 - Amélioration de Schoof
- Étude de la complexité
- 5 Architecture du programme
- 6 Résultats expérimentaux



- Introduction
- Courbes elliptiques sur Fq
- Algorithme de Schoof
 - Cas général
 - Amélioration de Schoof
- Étude de la complexité
 - Complexité de Schoof
 - Comparaison avec les autres méthodes
- 5 Architecture du programme
- 6 Résultats expérimentaux

Cet algorithme consiste à calculer la trace du frobénius modulo tous les $I < I_{max}$ tel que I_{max} soit le plus petit nombre premier vérifiant :

$$\prod_{l \text{ premier, } p \nmid l}^{l_{\text{max}}} l > 4\sqrt{q}. \tag{9}$$

Une fois calculé la trace modulo toutes les *I*-torsions, on utilise le Théorème des Restes Chinois (CRT) pour obtenir la trace dans \mathbf{F}_q .

Algorithme 1 Algorithme de Shoof

Ensure: Le cardinal de $E(\mathbf{F}_a)$. $M \leftarrow 2, I \leftarrow 3$: $S \leftarrow \{(t \mod 2, 2)\}; \{Cas pour I = 2\}$ while $M < 4\sqrt{q}$ do $k \leftarrow q \mod 1$; for $\tau = 0$ to $\frac{l-1}{2}$ do if $\forall P \in E[I], \ \phi^2(P) + [k]P = \pm [\tau]\phi(P)$ then $S \leftarrow S \cup \{(\tau, I)\}$ or $S \leftarrow S \cup \{(-\tau, I)\}$ {Selon les cas} break; end if end for $M \leftarrow M * I$: $I \leftarrow nextprime(I)$; {Donne le prochain nombre premier après I} end while $\forall t \in S, trace \leftarrow CRT(t)$; {Effectue le théorème des restes chinois} return q+1-trace

Require: Une courbe elliptique E sur F_a un polynôme quelconque.

On regarde cet algorithme plus en détails sur le calcul de la trace *mod 1*.

On regarde cet algorithme plus en détails sur le calcul de la trace $mod\ I$. Dans le cas I=2, on cherche les points de 2-torsions,

$$t = 1 \mod 2 \Leftrightarrow pgcd(x^3 + ax + b, x^q - x) = 1 \tag{10}$$

On regarde cet algorithme plus en détails sur le calcul de la trace $mod\ I$. Dans le cas I=2, on cherche les points de 2-torsions,

$$t = 1 \mod 2 \Leftrightarrow pgcd(x^3 + ax + b, x^q - x) = 1 \tag{10}$$

Dans le cas général, on pose $k = q \mod I$ et on recherche un $\tau \mod I$ qui vérifie (8), *i.e.*

$$\phi_I^2(P) - \tau \phi_I(P) + kP = \vartheta \Longleftrightarrow \phi_I^2(P) + kP = \tau \phi_I(P)$$
 (11)

On regarde cet algorithme plus en détails sur le calcul de la trace $mod\ I$. Dans le cas I=2, on cherche les points de 2-torsions,

$$t = 1 \mod 2 \Leftrightarrow pgcd(x^3 + ax + b, x^q - x) = 1 \tag{10}$$

Dans le cas général, on pose $k=q \mod I$ et on recherche un $\tau \mod I$ qui vérifie (8), *i.e.*

$$\phi_I^2(P) - \tau \phi_I(P) + kP = \vartheta \Longleftrightarrow \phi_I^2(P) + kP = \tau \phi_I(P)$$
 (11)

On découpe ensuite l'équation (11) en deux et on applique (7) pour obtenir d'une part

$$\tau \phi_I(P) = \left(x^q - \left(\frac{\psi_{\tau-1} \psi_{\tau+1}}{\psi_{\tau}^2} \right)^q, \left(\frac{\psi_{\tau+2} \psi_{\tau-1}^2 - \psi_{\tau-2} \psi_{\tau+1}^2}{4Y \psi_{\tau}^3} \right)^q \right), \quad (12)$$

4□▶ 4□▶ 4 □ ▶ 4 □ ▶ 3 □ ♥ 9 0 ○

et d'autre part

$$\phi_I^2(P) + kP = \left(-x^{q^2} - x + \frac{\psi_{k-1}\psi_{k+1}}{\psi_k^2} + \lambda^2, -y^{q^2} - \lambda\left(-x^{q^2} - x + \frac{\psi_{k-1}\psi_{k+1}}{\psi_k^2}\right)\right)$$
(13)

avec

$$\lambda = \frac{\psi_{k+2}\psi_{k-1}^2 - \psi_{k-2}\psi_{k+1}^2 - 4y^{q^2+1}\psi_k^3}{4\psi_k y((x - x^{q^2})\psi_k^2 - \psi_{k-1}\psi_{k+1})}.$$
 (14)

On veux donc tester si les deux parties sont égale modulo *I*, et par conséquent tester que les abscisses puis les ordonnées sont égales.

Pour les abscisses, on doit vérifier que

$$((\psi_{k-1}\psi_{k+1} - \psi_k(x^{q^2} + x^q + x))\beta^2 + \psi_k^2\alpha^2)\psi_\tau^{2q} + \psi_{\tau-1}^q\psi_{\tau+1}^q\beta^2\psi_k^2 = 0 \bmod \phi_l.$$
(15)

Si l'assertion est vrai, alors on vérifie aussi pour les ordonnées que

$$4y^{q}\psi_{\tau}^{3q}(\alpha((2x^{q^{2}}+x)\psi_{k}^{2}-\psi_{k-1}\psi_{k+1})-y^{q^{2}}\beta\psi_{k}^{2})-\beta\psi_{k}^{2}(\psi_{\tau+2}\psi_{\tau-1}^{2}-\psi_{\tau-2}\psi_{\tau+1}^{2})^{q}=0 \mod \phi_{I}. \quad (16)$$

Оù

$$\begin{cases} \alpha = \psi_{k+2}\psi_{k-1}^2 - \psi_{k-1}\psi_{k+1}^2 - 4y^{q^2+1}\psi_{k-1}^3 \\ \beta = ((x - x^{q^2})\psi_k^2 - \psi_{k-1}\psi_{k+1})4y\psi_k \end{cases}$$

Pour les abscisses, on doit vérifier que

$$((\psi_{k-1}\psi_{k+1} - \psi_k(x^{q^2} + x^q + x))\beta^2 + \psi_k^2\alpha^2)\psi_\tau^{2q} + \psi_{\tau-1}^q\psi_{\tau+1}^q\beta^2\psi_k^2 = 0 \mod \phi_l.$$
(15)

Si l'assertion est vrai, alors on vérifie aussi pour les ordonnées que

$$4y^{q}\psi_{\tau}^{3q}(\alpha((2x^{q^{2}}+x)\psi_{k}^{2}-\psi_{k-1}\psi_{k+1})-y^{q^{2}}\beta\psi_{k}^{2})-\beta\psi_{k}^{2}(\psi_{\tau+2}\psi_{\tau-1}^{2}-\psi_{\tau-2}\psi_{\tau+1}^{2})^{q}=0 \mod \phi_{I}. \quad (16)$$

Оù

$$\begin{cases} \alpha = \psi_{k+2}\psi_{k-1}^2 - \psi_{k-1}\psi_{k+1}^2 - 4y^{q^2+1}\psi_{k-1}^3 \\ \beta = ((x - x^{q^2})\psi_k^2 - \psi_{k-1}\psi_{k+1})4y\psi_k \end{cases}$$

Remarque

- Pour résumer, si un τ vérifie que (15) alors $t=-\tau$ modulo l, sinon si un τ vérifie que (15) et (16), alors $t = \tau$ modulo I. Si aucun τ vérifie les deux relations, alors la trace est nulle modulo 1.
- En pratique, dans les équations (15) et (16), on remplace les ψ_n par des f_n . Puis si nécessaire on réduira modulo (1) et on divisera par y.

Sommaire

- Introduction
- 2 Courbes elliptiques sur Fq
- Algorithme de Schoof
 - Cas général
 - Amélioration de Schoof
- Étude de la complexité
 - Complexité de Schoof
 - Comparaison avec les autres méthodes
- 6 Architecture du programme
- 6 Résultats expérimentaux



Algorithme 2 Algorithme de Shoof amélioré

```
Require: Une courbe elliptique E sur F_a un polynôme quelconque.
Ensure: Le cardinal de E(F_n).
  M \leftarrow 2, I \leftarrow 3
  S \leftarrow \{(t \mod 2, 2)\}; \{Cas pour l = 2\}
  while M < 4\sqrt{q} do
       k \leftarrow q \mod I
       if \phi_i^2 P = \pm kP then
            if (\frac{k}{l}) = -1 then
                 S \leftarrow S \cup \{(0, I)\}
            else
                 on recherche w tel que k = w^2 \mod I
                 if \pm w est une valeur propre de \phi_I then
                      S \leftarrow S \cup \{(w, l)\} or S \leftarrow S \cup \{(-w, l)\} {Selon les cas}
                 else
                     S \leftarrow S \cup \{(0, l)\}
                 end if
            end if
       else
            for \tau = 1 to \frac{l-1}{2} do
                 if \forall P \in E[I], \ \phi^2(P) + [k]P = \pm [\tau]\phi(P) then
                     S \leftarrow S \cup \{(\tau, l)\} or S \leftarrow S \cup \{(-\tau, l)\} {Selon les cas}
                     break:
                 end if
            end for
       end if
       M \leftarrow M * I:
       / ← nextprime(/): {Donne | e prochain nombre premier après /}
  end while
  \forall t \in S, trace \leftarrow CRT(t); {Effectue le théorème des restes chinois}
  return a+1-trace.
```

On regarde si $\forall P$ nonzéro

$$\phi_I^2 P = \pm kP \tag{17}$$

avec $q \equiv k[I]$, sinon on fait le cas général.

$$\begin{cases} (x^{q^2} - x)f_k^2(x^3 + ax + b) + f_{k-1}f_{k+1} = 0 & \text{si } k \text{ pair} \\ (x^{q^2} - x)f_k^2 + f_{k-1}f_{k+1}(x^3 + ax + b) = 0 & \text{si } k \text{ impair} \end{cases}$$
(18)

$$\begin{cases} (x^{q^2} - x)f_k^2(x^3 + ax + b) + f_{k-1}f_{k+1} = 0 & \text{si } k \text{ pair} \\ (x^{q^2} - x)f_k^2 + f_{k-1}f_{k+1}(x^3 + ax + b) = 0 & \text{si } k \text{ impair} \end{cases}$$
(18)

Ce qui est équivalent à

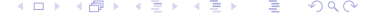
$$\begin{cases} pgcd((x^{q^2} - x)f_k^2(x^3 + ax + b) + f_{k-1}f_{k+1}, f_l) & \text{si } k \text{ pair} \\ pgcd((x^{q^2} - x)f_k^2 + f_{k-1}f_{k+1}(x^3 + ax + b), f_l) & \text{si } k \text{ impair} \end{cases}$$
(19)

$$\begin{cases} (x^{q^2} - x)f_k^2(x^3 + ax + b) + f_{k-1}f_{k+1} = 0 & \text{si } k \text{ pair} \\ (x^{q^2} - x)f_k^2 + f_{k-1}f_{k+1}(x^3 + ax + b) = 0 & \text{si } k \text{ impair} \end{cases}$$
(18)

Ce qui est équivalent à

$$\begin{cases} pgcd((x^{q^2} - x)f_k^2(x^3 + ax + b) + f_{k-1}f_{k+1}, f_l) & \text{si } k \text{ pair} \\ pgcd((x^{q^2} - x)f_k^2 + f_{k-1}f_{k+1}(x^3 + ax + b), f_l) & \text{si } k \text{ impair} \end{cases}$$
(19)

Donc $pgcd \neq 1$ si et seulement si $\phi_I^2 P = \pm kP$.



$$\begin{cases} pgcd((x^{q} - x)f_{w}^{2}(x^{3} + ax + b) + f_{w-1}f_{w+1}, f_{l}) & \text{si } w \text{ pair} \\ pgcd((x^{q} - x)f_{w}^{2} + f_{w-1}f_{w+1}(x^{3} + ax + b), f_{l}) & \text{si } w \text{ impair} \end{cases}$$
(20)

$$\begin{cases} pgcd((x^{q} - x)f_{w}^{2}(x^{3} + ax + b) + f_{w-1}f_{w+1}, f_{l}) & \text{si } w \text{ pair} \\ pgcd((x^{q} - x)f_{w}^{2} + f_{w-1}f_{w+1}(x^{3} + ax + b), f_{l}) & \text{si } w \text{ impair} \end{cases}$$
(20)

Donc si pgcd=1 alors au=0 mod I, sinon on doit déterminer de signe de w.

$$\begin{cases} pgcd((x^{q} - x)f_{w}^{2}(x^{3} + ax + b) + f_{w-1}f_{w+1}, f_{l}) & \text{si } w \text{ pair} \\ pgcd((x^{q} - x)f_{w}^{2} + f_{w-1}f_{w+1}(x^{3} + ax + b), f_{l}) & \text{si } w \text{ impair} \end{cases}$$
(20)

Donc si pgcd=1 alors au=0 mod /, sinon on doit déterminer de signe de w.

$$\begin{cases} pgcd(4(x^3+ax+b)^{(q-1)/2}f_w^3-f_{w+2}^2f_{w-1}+f_{w-2}^2f_{w-1},f_l) & \text{si } w \text{ pair} \\ pgcd(4(x^3+ax+b)^{(q-1)/2}f_w^3-f_{w+2}^2f_{w-1}+f_{w-2}^2f_{w-1},f_l) & \text{si } w \text{ impair} \end{cases}$$

$$(21)$$

$$\begin{cases} pgcd((x^{q} - x)f_{w}^{2}(x^{3} + ax + b) + f_{w-1}f_{w+1}, f_{l}) & \text{si } w \text{ pair} \\ pgcd((x^{q} - x)f_{w}^{2} + f_{w-1}f_{w+1}(x^{3} + ax + b), f_{l}) & \text{si } w \text{ impair} \end{cases}$$
(20)

Donc si pgcd=1 alors au=0 mod I, sinon on doit déterminer de signe de w.

$$\begin{cases} pgcd(4(x^3+ax+b)^{(q-1)/2}f_w^3-f_{w+2}^2f_{w-1}+f_{w-2}^2f_{w-1},f_l) & \text{si } w \text{ pair} \\ pgcd(4(x^3+ax+b)^{(q-1)/2}f_w^3-f_{w+2}^2f_{w-1}+f_{w-2}^2f_{w-1},f_l) & \text{si } w \text{ impair} \end{cases}$$

$$(21)$$

Et par conséquent, si pgcd=1 alors $au=-2w \mod I$, sinon $au=2w \mod I$.

◆□▶ ◆御▶ ◆恵▶ ◆恵▶ ○恵 ○夕@@

Sommaire

- Introduction
- Courbes elliptiques sur Fq
- Algorithme de Schoof
- Étude de la complexité
 - Complexité de Schoof
 - Comparaison avec les autres méthodes
- 5 Architecture du programme
- 6 Résultats expérimentaux



Sommaire

- Introduction
- 2 Courbes elliptiques sur Fq
- Algorithme de Schoof
 - Cas général
 - Amélioration de Schoof
- Étude de la complexité
 - Complexité de Schoof
 - Comparaison avec les autres méthodes
- 5 Architecture du programme
- 6 Résultats expérimentaux

Théorème (des nombres premiers)

Soit $\pi(x)$ le nombre de premier plus petit que x. On a alors que

$$\pi(x) \leadsto \frac{x}{\log(x)}$$
$$x \leadsto +\infty$$

Théorème (des nombres premiers)

Soit $\pi(x)$ le nombre de premier plus petit que x. On a alors que

$$\pi(x) \rightsquigarrow \frac{x}{\log(x)}$$
$$x \rightsquigarrow +\infty$$

Remarque

Le théorème précédent donne aussi la relation suivante :

$$\prod_{l \text{ premier, } p_l l}^{l_{max}} l \rightsquigarrow e^{lmax}$$

Ensuite on calcule la complexité de la création du tableau de polynôme de division. On doit pour ce faire calculer lmax = O(log(q)) polynômes avec 9 (cas pair) ou 11 (cas impair) opérations élémentaires à chaque tour. Le coût total de la création du tableau est de O(log(q)).

Ensuite on calcule la complexité de la création du tableau de polynôme de division. On doit pour ce faire calculer lmax = O(log(q)) polynômes avec 9 (cas pair) ou 11 (cas impair) opérations élémentaires à chaque tour. Le coût total de la création du tableau est de O(log(q)).

On aussi que $deg(f_l) = O(l^2) = O(log^2(q))$ et que le pgcd à une complexité de $O(deg(f_l)^2 log^3(q))$. D'où une complexité pour chaque tour $O(log^7(q))$.

Ensuite on calcule la complexité de la création du tableau de polynôme de division. On doit pour ce faire calculer lmax = O(log(q)) polynômes avec 9 (cas pair) ou 11 (cas impair) opérations élémentaires à chaque tour. Le coût total de la création du tableau est de O(log(q)).

On aussi que $deg(f_l) = O(l^2) = O(log^2(q))$ et que le pgcd à une complexité de $O(deg(f_l)^2 log^3(q))$. D'où une complexité pour chaque tour $O(log^7(q))$.

De plus, comme on fait $O(I) = O(\log(q))$ tour, on arrive à une complexité à $O(\log^8(q))$. Donc on arrive à une complexité de $O(\log^9(q))$ Enfin la complexité de CRT est négligeable par rapport à $O(\log^9(q))$

Sommaire

- Introduction
- Courbes elliptiques sur Fq
- Algorithme de Schoof
 - Cas général
 - Amélioration de Schoof
- Étude de la complexité
 - Complexité de Schoof
 - Comparaison avec les autres méthodes
- 6 Architecture du programme
- 6 Résultats expérimentaux



Voici une petite comparaison entre les différents algorithmes :

• L'algorithme Schoof est en $O(\log^9(q))$,

Voici une petite comparaison entre les différents algorithmes :

- L'algorithme Schoof est en $O(\log^9(q))$,
- L'algorithme SEA est en $O(log^4(q))$,

Voici une petite comparaison entre les différents algorithmes :

- L'algorithme Schoof est en $O(log^9(q))$,
- L'algorithme SEA est en $O(\log^4(q))$,
- L'algorithme de Satoh est en $O(n^3)$.

Sommaire

- Introduction
- Courbes elliptiques sur Fq
- Algorithme de Schoof
- 4 Étude de la complexité
- 5 Architecture du programme
- 6 Résultats expérimentaux

Pour rappel, ce programme est écrit en langage C et j'utilise la librairie FLINT afin de manipuler des polynômes dans \mathbf{F}_q . J'ai choisi de décomposer mon programme en trois parties :

La fonction main

La fonction main qui récupère les arguments auprès de l'utilisateur, et qui vérifie que les arguments donne une courbe elliptique sur \mathbf{F}_q . Elle se finie en affichant le cardinal de la courbe elliptique sur \mathbf{F}_q .

La fonction division_polynomial

La fonction division_polynomial remplie un tableau avec tous les polynômes de division.

```
void division_polynomial(fq_poly_t *tab, fq_t a,
fq_t b, fq_poly_t ecc, ulong k, fq_ctx_t fq)
ENTRÉE:
```

Tableau de Fq-polynôme tab et k la taille du tableau Entiers a,b tels que E: $y^2 = x^3 + ax + b$ une courbe elliptique sur Fq

Fq-polynôme eec représentant la courbe elliptique Corps fini fq à q éléments

SORTIE :

Tableau de Fq-polynôme tab rempli de k polynôme de division

La fonction schoof

La fonction schoof crée un tableau de *lmax* polynômes de division (remplie par la fonction division_polynomial), puis elle exécute l'algorithme de schoof. Et renvoie le cardinal de la courbe elliptique.

void schoof(fmpz_t card, fq_t a, fq_t b, fmpz_t q,fq_ctx_t fq)
ENTRÉE :

Entier q premier tel que Fq un corps fini à q éléments Entiers a,b tels que E: $y^2 = x^3 + ax + b$ une courbe elliptique sur Fq

SORTIE :

Entier card tel que card = #E(Fq)

La fonction fmpz_nextprime

Par ailleurs, j'ai implémenté une fonction $fmpz_nextprime$ qui renvoi le prochain nombre premier. En effet, cette fonction n'est pas inclut dans la librairie FLINT. Il est possible d'optimiser cette fonction, cependant dans notre cas les nombres premiers tester sont de l'ordre de O(log(q)).

```
ENTRÉE :
    Entier op tel que op > 2
SORTIE :
    Entier rop

void fmpz_nextprime(fmpz_t rop, fmpz_t op)
{
    fmpz_add_ui(rop, op, 2);
    while(!fmpz_is_prime(rop)) fmpz_add_ui(rop, rop, 2);
}
```

Sommaire

- Introduction
- 2 Courbes elliptiques sur F_q
- Algorithme de Schoof
- Étude de la complexité
- 5 Architecture du programme
- 6 Résultats expérimentaux

Exemple (Soit p = 101 et $E : y^2 = x^3 + 3x + 4$)

On a $I_{max} = 7$ et I = 2, 3, 5, 7.

On obtient t = 0[2], t = 1[3], t = 0[5], t = 3[7] à chaque étape.

D'où $\#E(\mathbf{F}_{101}) = 92$.

Test du programme

Questions?

Merci.